

# 能量大于 10GeV 的宇宙线中超硬正电子的起源

陈凤至 聂传辉

(安徽师范大学物理系, 安徽芜湖 241000)

王 平

(中国科学院高能物理研究所, 北京 100039)

## 摘要

本文构造了一个  $SU(3)_L \times U(1)$  模型, 并把模型中的重轻子(N 粒子)与黑暗物质粒子等同起来。通过引入适当的相互作用, N 粒子可以发生微弱的衰变, 从而解释了能量大于 10GeV 的宇宙线中超硬正电子的起源。

最近, 有人报告在能量大于 10GeV 的宇宙线中存在超硬的正电子成分<sup>[1]</sup>, 对于这一现象, 有各种解释。文献[2]指出, 如果有能量大于 20GeV 的单色正电子注入银晕, 回旋加速器效应或逆康普顿效应会使之失去单色性, 最后得到与观测一致的正电子谱分布。不过, 为使正电子失去单色性, 在银晕中的贮存时间要高达  $10^8$  年。文献[3]认为, 极其微弱地衰变的有质量粒子, 如组成星系黑暗物质的粒子, 也能提供上述正电子。至于这种有质量粒子为何物, 文献[3]假定是一种特定的  $SU(2)_L \times SU(2)_R \times U(1)$  模型中的右手 Majorana 中微子。

由于从未观测到过 Majorana 粒子, 本文考虑用 Dirac 粒子代替 Majorana 粒子。因此, 相应的模型也被修改为  $SU(3)_L \times U(1)$  模型。另一方面, 从粒子物理、天体物理和宇宙学的综合考虑得出, 黑暗物质的候选者应当是不参与强相互作用和电磁相互作用的粒子<sup>[4]</sup>。因此, 我们把弱衰变粒子选为中性重轻子(在下文中简称为 N 粒子)。

本文的安排如下。首先我们构造一个  $SU(3)_L \times U(1)$  模型。接着引入新的相互作用。通过这种相互作用, N 粒子会衰变为正负电子和中微子(或者正电子加  $\bar{u}d$  等)。由于这种衰变是由辐射修正引起的, 所以有效耦合常数极其微小。相应地, N 粒子的寿命也非常之长 ( $\sim 10^{25}$  s)。最后, 我们作一些数值估计并给出几点说明。

## 一

在本节中, 我们构造一个  $SU(3)_L \times U(1)$  模型。首先选取如下的左手和右手费米子

多重态。

### i) 轻子三重态

$$\begin{pmatrix} \nu_e \\ e \\ N_L \end{pmatrix}, \begin{pmatrix} \nu_\mu \\ \mu \\ M_L \end{pmatrix}, \begin{pmatrix} \nu_\tau \\ \tau \\ T_L \end{pmatrix}$$

角标 L 表示左手粒子。为叙述和书写方便, 以下有时把这三个三重态简记作  $L_i$ , 这里  $i$  指示代数。

### ii) 轻子单态

$$e_R, N_R, \mu_R, M_R, \tau_R, T_R$$

角标 R 表示右手粒子。以上粒子简记作  $e_{Ri}$  和  $N_{Ri}$ ,  $i$  指示代数, 如  $e_{R1} = e_R, e_{R2} = \mu_R, e_{R3} = \tau_R$  等等。

### iii) 夸克三重态

$$\begin{pmatrix} u \\ d \\ P_1_L \end{pmatrix}, \begin{pmatrix} c \\ s \\ P_2_L \end{pmatrix}, \begin{pmatrix} t \\ b \\ P_3_L \end{pmatrix}$$

以上诸态简记作  $Q_{Li}$ ,  $i$  指示代数。

### iv) 夸克单态

以上诸态简记作  $u_{Ri}, d_{Ri}$  和  $P_{Ri}$ .  $i$  的意义同前。

接着, 我们把电荷公式选为

$$Q = \frac{1}{2} \lambda_3 - \frac{\sqrt{3}}{6} \lambda_8 + Y.$$

式中  $\lambda_3$  和  $\lambda_8$  是两个对角的 Gell-mann 矩阵;  $Y$  是“弱超荷”, 即  $U(1)$  群的生成元。对于轻子三重态,  $Y = -\frac{1}{3}$ ; 对于夸克三重态,  $Y = \frac{1}{3}$ ; 对于轻子和夸克单态,  $Y$  即相应粒子的电荷。至于本模型中各种费米子的电荷, 可参看表 1。

表 1 费米子的电荷

| 费米子 | $\nu_e \nu_\mu \nu_\tau$ | $e \mu \tau$ | $N M T$ | $u c t$       | $d s b$        | $P_1 P_2 P_3$ |
|-----|--------------------------|--------------|---------|---------------|----------------|---------------|
| 电荷  | 0                        | -1           | 0       | $\frac{2}{3}$ | $-\frac{1}{3}$ | $\frac{2}{3}$ |

为了赋予费米子(除中微子)和规范场以质量, 我们引入三个 Higgs 三重态:

$$\phi = \begin{pmatrix} \phi_1 \\ \phi_2 \\ \phi_3 \end{pmatrix}, \quad \eta = \begin{pmatrix} \eta_1 \\ \eta_2 \\ \eta_3 \end{pmatrix}, \quad \xi = \begin{pmatrix} \xi_1 \\ \xi_2 \\ \xi_3 \end{pmatrix}.$$

这里 $\phi$ 和 $\eta$ 的Y值均为 $-\frac{1}{3}$ ,而 $\xi$ 的Y值为 $\frac{2}{3}$ .选择适当的Higgs势,可使 $\phi$ , $\xi$ 和 $\eta$ 具有如下的真空期望值:

$$\langle\phi\rangle = w \begin{pmatrix} 0 \\ 0 \\ 1 \end{pmatrix}, \quad \langle\eta\rangle = v_1 \begin{pmatrix} 1 \\ 0 \\ 0 \end{pmatrix}, \quad \langle\xi\rangle = v_2 \begin{pmatrix} 0 \\ 1 \\ 0 \end{pmatrix}.$$

Higgs粒子和费米子的相互作用拉氏量为

$$\begin{aligned} \mathcal{L}_Y = & f_1^i \bar{L}_i \phi N_{Rj} + f_2^i \bar{Q}_i \phi P_{Rj} + f_3^i \bar{L}_i \xi e_{Rj} \\ & + f_4^i \bar{Q}_i \xi d_{Rj} + f_5^i \bar{Q}_i \eta u_{Rj} + \text{h.c.} \end{aligned} \quad (1)$$

通过真空的自发破缺,这个拉氏量可赋予除中微子外的所有费米子以质量。另外,从Higgs粒子的动能项,我们可以求出规范场的质量。假定与群 $SU(3)_L$ 对应的规范场为 $A_\mu^i (i=1,2,\dots,8)$ ,与群 $U(1)$ 对应的规范场为 $B_\mu$ 。定义

$$\begin{aligned} W_\mu^\pm &= \frac{1}{\sqrt{2}} (A_\mu^1 \mp i A_\mu^2), \quad U_\mu^0 = \frac{1}{\sqrt{2}} (A_\mu^4 - i A_\mu^5), \\ \bar{U}_\mu^0 &= \frac{1}{\sqrt{2}} (A_\mu^4 + i A_\mu^5), \quad V_\mu^\pm = \frac{1}{\sqrt{2}} (A_\mu^6 \mp i A_\mu^7). \end{aligned}$$

我们得与这些场对应的粒子的质量为

$$m_W^2 = \frac{1}{2} g^2 (\nu_1^2 + \nu_2^2), \quad m_U^2 = \frac{1}{2} g^2 (w^2 + v_1^2), \quad m_V^2 = \frac{1}{2} g^2 (w^2 + v_2^2).$$

其次,定义

$$\begin{aligned} C_\mu &= r^{-1} \left[ g \left( A_\mu^3 + \frac{1}{\sqrt{3}} A_\mu^8 \right) - \frac{2}{3} g' B_\mu \right], \\ D_\mu &= r^{-1} \left( -g \frac{2}{\sqrt{3}} A_\mu^8 - \frac{2}{3} g' B_\mu \right), \\ r &= \frac{2}{3} \sqrt{3g^2 + g'^2}, \end{aligned}$$

可得场 $C_\mu$ 与 $D_\mu$ 的质量矩阵

$$\begin{bmatrix} \frac{1}{2} r^2 (\nu_1^2 + \nu_2^2) & \frac{1}{2} r^2 v_2^2 \\ \frac{1}{2} r^2 \nu_2^2 & \frac{1}{2} r^2 (w^2 + v_2^2) \end{bmatrix},$$

将此质量矩阵对角化,可得两个中性中间玻色子 $Z_1$ 和 $Z_2$ 的质量。剩下一个无质量的中间玻色子即光子。至此,我们完成了我们的 $SU(3)_L \times U(1)$ 模型的建造。

## 二

从公式(1)可得粒子N和P的质量

$$m_N = f_1 w, \quad m_P = f_2 w. \quad (2)$$

为简单起见,这里忽略了代的混合,因此 $f_1$ 和 $f_2$ 只与一个代有关。从公式(2)可以看出,

假定  $f_2$  大于  $f_1$ , 则 P 粒子的质量大于 N 粒子的质量, 因而 N 粒子不会衰变为 P 粒子加其他粒子, 亦即 N 粒子是稳定的。另一方面, 我们希望把 N 粒子看成是宇宙线中超硬正电子的提供者, 这就需要 N 粒子会发生微弱的衰变。为此, 我们在本模型中引入如下的相互作用:

$$\mathcal{L} = f_{ij}(u_{R_i}^T C d_{R_j} \omega_1 + P_{R_i}^T C d_{R_j} \omega_2) + h.c.$$

式中  $C$  是电荷共轭矩阵;  $\omega_1$  和  $\omega_2$  是标量粒子, 是  $SU(3)$  单态和色三重态。此外, 我们还引入一标量势项

$$\mu^2(\omega_1^* \omega_2 + h.c.)$$

有了这两项, 我们可以画出如下的费曼图(图 1)。仿照文献[5]的方法, 我们可以估计出该费曼图的振幅,

$$m_{W-V}^2 = \frac{g^2 f^2}{(16\pi^2)^2} \left( \frac{\mu^2}{M_\omega^2} \right) \cdot \left( \frac{m_t M_p}{M_\omega^2} \right) m_b^2,$$

式中  $M_\omega$  是  $\omega_1$  或  $\omega_2$  的质量,  $M_p$  是  $P_3$  粒子的质量,  $m_t$  和  $m_b$  分别是 t 夸克和 b 夸克的质量。这个振幅将场  $W_\mu$  和  $V_\mu$  混合起来, 从而使  $W_\mu$  和  $V_\mu$  的质量矩阵变为

$$\begin{bmatrix} m_W^2 & \frac{1}{2} m_{W-V}^2 \\ \frac{1}{2} m_{W-V}^2 & m_V^2 \end{bmatrix}$$

为使这个质量矩阵对角化, 我们须作一正交变换

$$\begin{bmatrix} \cos \zeta & \sin \zeta \\ -\sin \zeta & \cos \zeta \end{bmatrix},$$

式中  $\zeta$  称为混合角。不难证明, 混合角的值为

$$\zeta = \frac{g^2 f^2}{(16\pi^2)^2} \left( \frac{\mu^2}{M_\omega^2} \right) \left( \frac{M_p m_t}{M_\omega^2} \right) \frac{m_b^2}{m_V^2}, \quad (3)$$

式中  $m_V$  是中间玻色子  $V^\pm$  的质量。注意, 并以  $M_{P_1}$ ,  $m_s$  和  $m_d$  代替  $M_{P_3}$ ,  $m_t$  和  $m_b$ , 我们得到另一个混合角, 但这个混合角比公式(3)的混合角小很多, 因此在 N 粒子的衰变中不起什么作用。

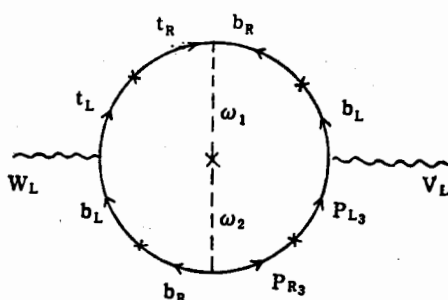


图 1 导致  $W_L$ - $V_L$  混合的二圈图

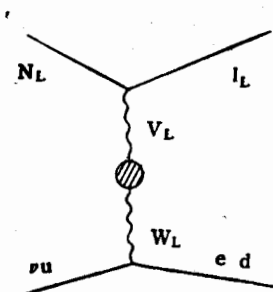


图 2 N 粒子衰变的费曼图, 图中带阴影的圈表示图 1 的费曼图

这样, 由于  $W_L$  和  $V_L$  的混合, N 粒子可以通过如下过程(图 2)衰变为中微子和正负

电子(或正电子加 $\bar{u}d$ 等). 在下一节中, 我们将通过数值估计说明N粒子的衰变可以用来解释能量大于10GeV的宇宙线中超硬正电子的起源.

### 三

在作数值估计之前, 让我们看一下天体物理观测数据对N粒子提出哪些要求. 首先, 对银盘中的低能宇宙线的测量表明, “ $^{10}\text{Be}$ 的寿命”约为 $(1\sim 2)\times 10^7$ 年. 再根据次级射线与初级射线比率的测量, 可推知从银盘中逃逸出来的时间要比上述数值约小一个数量级, 即逃逸时间为 $10^6$ 年. 这一事实一方面说明文献[2]的前提条件在银盘中不能成立, 另一方面说明文献[3]所提出的质量 $\simeq 30\text{GeV}$ 的粒子的三体衰变是可采纳的. 因此, 我们假定本模型中的N粒子为黑暗物质的组分, 且质量为 $30\text{GeV}$ .

有了逃逸时间, 再根据正电子在银盘中的密度 $n_e \simeq 10^{-13}/\text{cm}^3$ , 可以估计出黑暗物质的寿命 $\tau_D$ 为

$$\tau_D \geq \left(\frac{m_p}{m_D}\right) \times 10^{26}\text{s},$$

式中 $m_p$ 是质子质量,  $m_D$ 是黑暗物质粒子的质量. 按我们的假定 $m_D \simeq 30\text{GeV}$ . 代入 $m_D$ 和 $m_p$ 的数值, 得N粒子的寿命为 $\tau \sim 10^{25}$ 秒.

现在来看我们的模型. 由图2不难求出,  $N \rightarrow e^+e^-v$ (或 $e^+\bar{u}d$ 等)的有效耦合常数为 $\zeta G_F$ ,  $G_F$ 为费米常数. 再由量纲考虑, 得N粒子的寿命公式为

$$\tau^{-1} = \zeta^2 G_F^2 m_N^5.$$

假定 $M_p \sim 10\text{TeV}$ ,  $M_\omega \sim 50\text{TeV}$ ,  $\mu \sim 5\text{TeV}$ ,  $m_v \sim 100\text{TeV}$ ,  $m_b \sim 5\text{GeV}$ ,  $m_t \sim 15_0\text{GeV}$ , 我们得N粒子的寿命为

$$\tau \sim 10^{25}\text{s}.$$

可见与本节开头指出的天体物理要求相符.

最后, 我们作几点说明. 第一, 我们的理论存在三角形反常, 因而是不可重整的. 但是, 只要引入很重的镜象夸克和轻子, 反常即可消除, 而且以上所得结果不受影响. 第二, N粒子也可通过Higgs粒子( $\xi_1$ 和 $\xi_3$ )发生衰变, 但因相应的有效耦合常数比 $\zeta G_F$ 小很多, 故可以忽略不计. 第三, 由于N粒子的寿命很长, 必须证明N粒子的剩余丰度不至影响观测结果 $\mathcal{Q} = 1$ . 利用有关公式进行计算表明, 适当地修正我们所用的参数数值(如 $f$ 和 $\mu^2$ 的数值)或适当地选取Higgs粒子的质量, 可以使条件 $\mathcal{Q} = 1$ 得到满足.

总之, 本文构造了一个 $SU(3)_L \times U(1)$ 模型. 我们把模型中的重轻子, 即N粒子解释为黑暗物质的组分. 通过引入新的相互作用, N粒子可以发生微弱的衰变, 从而解释了能量大于10GeV的宇宙线中超硬正电子的起源.

### 参 考 文 献

- [1] D. Meuller and J. Tang. in: Proc. 19th Intern. Cosmic Ray Conf. (Lajolla, 1985)
- [2] A. Tylka and D. Eichler. University of Maryland preprint (1987).
- [3] K. Babu, D. Eichler and R. N. Mohapatra, *Phys. Lett.*, **B226**(1989), 347.
- [4] J. Primack, D. Seckel and B. Sadoulet, *Ann. Rev. Nucl. Part. Sci.*, **38**(1988), 751.
- [5] D. Chang and R. N. Mohapatra, *Phys. Rev. Lett.*, **58**(1987), 1600.

## The Source of Anomalous Positrons in the Cosmic Rays Above 10 GeV

CHEN FENGZHI NIE CHUANHUI

(*Department of Physics, Anhui Normal University, Wuhu 241000*)

WANG PING

(*Institute of High Energy Physics, Academia Sinica, Beijing 100039*)

### ABSTRACT

We suggest that the heavy neutral lepton in a specific version of  $SU(3)_L \times U(1)$  model can not only act as dark matter but also provide with a source of anomalous positrons in the cosmic rays above 10 GeV.